

II-384 水・底泥間のリン挙動シミュレーションに関する研究 —簡易モデルによる季節変化パターンの再現—

山口大学工学部 正員 浅田正夫, 正員 中西 弘
日産建設(株) 宮家嘉久男, 九州理工専 正員 河合泰治

1 研究目的 城堀養水底の水質予測を行う上で、水・底泥間の栄養塩とくにリンの移動現象をモデル化し再現することが不可欠な課題である。著者らはこれまで、底泥からのリンの溶出に関して、できるだけ現象に忠実な形でのモデル化を追求してきたが、今回は社会的要請の大きさを考慮して、実用性のある簡易モデルを確立することを目的として研究を行った。すなわち、あまり重要な要素は切り捨て、好適気度とリンの不溶化、可溶化の特徴的な関係をどのようにモデルによって表現すればよいかという点に重点を置いて検討を行った。

2 研究方法 (1)モデルの概要 水・底泥より図1のようなコアシステムを考え、水平方向の物質移動を考えず、負荷の流入を考えない。大気と水との酸素の出入りは再ばつ気により考慮する。底泥中で分解生成された栄養塩が上層水に溶出し、有光層において植物プランクトンに吸収されて粒子態に変化し、その還元が沈降し再び分解して溶出することをくりかえす。リンの場合、底泥表面の酸化層の消長とそれに伴う間で水のP濃度の変化を合理的に表現する必要がある。

(2)基礎式 基礎式は表1に示すとおりである。これを差分表示して陽形式にて、 $\Delta t=30$ 分で5年間の計算を行う。酸化物の生成はDOが負となることで表現し酸化層は底泥第一層の鉄と下層水のDOとの反応で生成し、底泥第一層の負のDOとの反応により消滅する。

補給機構として、吸着型と反応型両者をくみこんでいるが、リンの場合後者が重要である。

表1 モデルの基礎式

$$\begin{aligned} \frac{dC_1}{dt} &= DU \frac{C_2 - C_1}{0.5H \cdot H_1} - A_1 \frac{C_1}{KH + C_1} \cdot F_1 + A_2 \cdot F_1 \quad \dots (1) \\ dF_1 &= A_1 \frac{C_1}{KH + C_1} \cdot F_1 - A_2 \cdot F_1 - \frac{WP}{H_1} \cdot F_1 + S \cdot DU \frac{F_2 - F_1}{0.5 \cdot H \cdot H_1} \dots (2) \\ \frac{dO_1}{dt} &= D_0 \frac{O_2 - O_1}{0.5 \cdot H \cdot H_1} + U_1 \cdot A_1 \frac{C_1}{KH + C_1} \cdot F_1 - U_1 \cdot A_2 \cdot F_1 - \frac{A_4}{H_1} (O_2 - O_1) \quad \dots (3) \\ \frac{dC_2}{dt} &= -DU \frac{C_2 - C_1}{0.5 \cdot H_2 \cdot H} - Y \cdot D \frac{C_2 - C_3}{0.5 \cdot X_1 \cdot H_2} + A_2 \cdot F_2 \quad \dots (4) \\ \frac{dF_2}{dt} &= -A_2 \cdot F_2 - \frac{WP}{H_2} \cdot F_2 + \frac{WP}{H_1} \cdot F_1 - S \cdot DU \frac{F_2 - F_1}{0.5 \cdot H \cdot H_1} \quad \dots (5) \\ \frac{dO_2}{dt} &= -DU \frac{O_2 - O_1}{0.5 \cdot H_2 \cdot H} - U_1 \cdot A_2 \cdot F_2 + Y \cdot D \frac{O_1 - O_2}{0.5 \cdot X_1 \cdot H_2} - A_6 \cdot M \cdot O_2 \quad \dots (6) \\ \frac{dC_3}{dt} &= D \frac{C_4 - C_3}{0.5 \cdot X_1 \cdot X} - D \frac{C_1 - C_3}{0.5 \cdot X_1 \cdot H_2} + K \cdot F_3 + \frac{A_3}{\omega} (E_{12} - \frac{C_3}{\alpha}) \\ &+ \frac{B_3}{\omega} (E_{12} - 1.3 \cdot \beta \cdot W \cdot M_0) \quad \dots (7) \\ \frac{dF_3}{dt} &= -K \cdot F_3 + \frac{WP}{X_1} \cdot F_2 \quad \dots (8) \\ \frac{dE_{11}}{dt} &= -A_3 (E_{11} - \frac{C_3}{\alpha}) \quad \frac{dE_{12}}{dt} = -B_3 (E_{12} - 1.3 \cdot \beta \cdot W \cdot M_0) \quad \dots (9) \\ \frac{dO_3}{dt} &= \sigma \cdot D \frac{O_4 - O_3}{0.5 \cdot X_1 \cdot X} - \sigma \cdot D \frac{O_1 - O_2}{0.5 \cdot X_1 \cdot H_2} - U_2 \cdot K \cdot F_3 - A_5 \cdot M_0 \cdot O_3 \quad \dots (10) \\ \frac{dC_4}{dt} &= -D \frac{C_4 - C_3}{0.5 \cdot X_2 \cdot X} + \frac{A_3}{\omega} (E_{12} - \frac{C_3}{\alpha}) \quad \dots (11) \\ \frac{dE_2}{dt} &= -A_3 (E_2 - \frac{C_4}{\alpha}) \quad * \quad 0 < \sigma > 0 : A_5 = 0 \\ &\quad * \quad 0 < \sigma < 0 : A_6 = 0 \quad \dots (12) \\ \frac{dO_4}{dt} &= -\sigma \cdot D \frac{O_4 - O_3}{0.5 \cdot X_2 \cdot X} \quad ** \quad \rho = P \text{の不溶化} \quad \dots (13) \\ \frac{dM_0}{dt} &= A_6 \cdot M \cdot O_2 - A_5 \cdot M_0 \cdot O_3 \quad \text{層の割合: } 0.5 \quad \dots (14) \\ \frac{dM}{dt} &= -A_6 \cdot M \cdot O_2 - A_5 \cdot M_0 \cdot O_3 \quad \dots (15) \end{aligned}$$

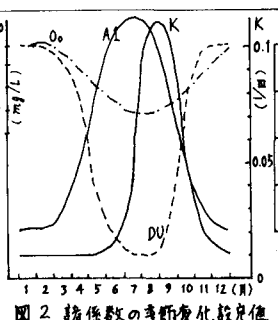


表2 モデルの諸元。諸係数

C1	上層水のInorgP濃度	0.01	mg/L
C2	下層水の〃	0.03	〃
C3	底泥第一層のInorgP濃度	0.2	〃
C4	底泥第二層の〃	2.0	〃
F1	上層水のOrgP濃度	0.03	〃
F2	下層水の〃	0.02	〃
F3	底泥第一層のOrgP濃度	10.0	〃
E1	底泥第一層の補給P濃度	10.0	ug/g
E11	ク(吸着型)	0.8	乾泥
E12	ク(反応型)	9.2	〃
E2	底泥第二層の補給P濃度	10.0	〃
O1	上層水のDO濃度	9.0	mg/L
O2	下層水の〃	8.0	〃
O3	底泥第一層のDO濃度	0.0	〃
O4	底泥第二層のDO濃度	-10.0	〃
M0	底泥第一層の酸化層濃度	50.0	〃
M	底泥第一層の鉄濃度	50.0	〃
C1~M	は濃度初期値を示す		
A1	最大生産速度定数	別図	1/日
A2	鉄における分解速度定数	0.5	1/日
A3	吸脱着速度定数	1×10^{-4}	1/s
B3	反応型補給速度定数	1×10^{-5}	1/s
A4	再ばつ気係数	$1 \sim 3 \times 10^3$	cm/s
A5	酸化層消滅速度定数	5×10^{-7}	L/(mg*s)
A6	酸化層生成速度定数	5×10^{-7}	〃
DU	底泥における分解速度定数	別図	1/日
D	鉛直混合係数	別図	cm ² /s
WP	底泥中の拡散係数	$0.5 \sim 1 \times 10^{-4}$	〃
Y	OrgPの沈降速度	15	cm/day
W	間けき率	0.78	
X	間けき水比	1.6	cm ³ /g
KM	ミハイリス定数	0.05	mg/L
Q0	飽和DO濃度	別図	〃
a	吸着平衡定数	0.25	g/cm ³
U1	O/P換算係数	143	
S	OPとIPのDUの補正	0.5	
σ	OとIPのDの補正	1~3	

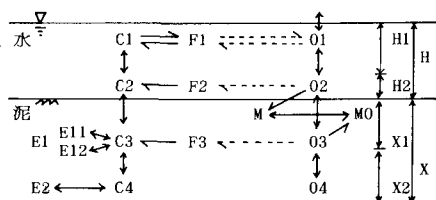


図1 モデルの概要図 ($H=5m, H_1/H_2=4, X=5cm, X_2/X_1=4$)

(3) 諸係数および諸元 式中の諸元、諸係数の説明と設定値等を表1に集約している。季節変化を示した係数は図2に示すように泥中の分解、一次生産、鉛直混合、および初期DO濃度である。係数や濃度初期値の設定は著者らのこれまでの実験により得られた値や文献値によったが、酸化層の生成、消滅、Pの可溶化、不溶化等の係数は測定困難で、未だなしだため、トライアルにより、係数値の組み合わせを変えながら数多くの数値実験を行った。

3 研究結果 (1) 季節変化 計算結果の中から比較的よく季節変化特性を表現していると考えられる例を図3～図6に示した。計算条件は表2および $A_4 = 1 \times 10^{-3}$, $D = 0.5 \times 10^{-5}$, $\sigma = 1.5$ を用いている。5月前後の水中P濃度の動き、6月以前の底泥第一層中のIPが0になることを示す点は実験結果によると一致するが、全体としては指数的リソル出速度(r_p)のパターンが再現されている。本モデルにおいては(10), (15), (16)式を採用することで計算の安定性は非常に改善された。

(2) 各係数の影響 ① DOに対する底泥中拡散係数の補正の影響(図7下図)によると、 σ の影響は大きく、これが大きくなると r_p のピークが遅れ、幅が狭くなる。生物的影響も考慮して P と DOに対する D の差をもたらす必要がある可能性を示唆している。② DU DU 全体を引き上げても停滞期の溶出をやや促進する以外、 r_p のパターンにはあまり大きな影響を与えない。③ 再ばつ気係数 A_4 図7上図に示すとく、 A_4 を大きくすることはある程度の場合と同様の効果がある。④ A_6/A_5 この比が1の場合と10の場合では、 σ を2から3にするのと同じような効果があるが、20にしてはあまり変化がない。⑤ その他 $M + M_0$ の初期値や(7)式の β は影響が大で、これらが適当な範囲を越えると計算の安定性がわるくなる。

4 今後の課題 一底、水・底泥間のリンの挙動を描けるモデルの骨格が得られたので、今後は諸係数の実験による確認や系統だった数値実験を行い、本モデルを一般化して、水質予測に組み込むことを検討していく必要がある。本研究は文部省科研 総合A 56350038(代表 中西弘)の援助を受けた。記して謝意を表す。

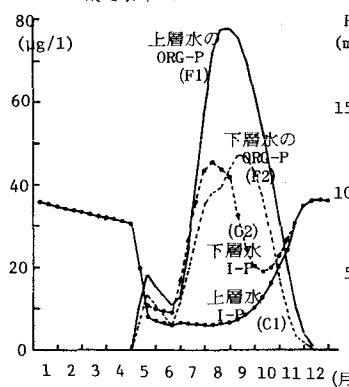


図4 上層水、下層水のリン濃度計算値

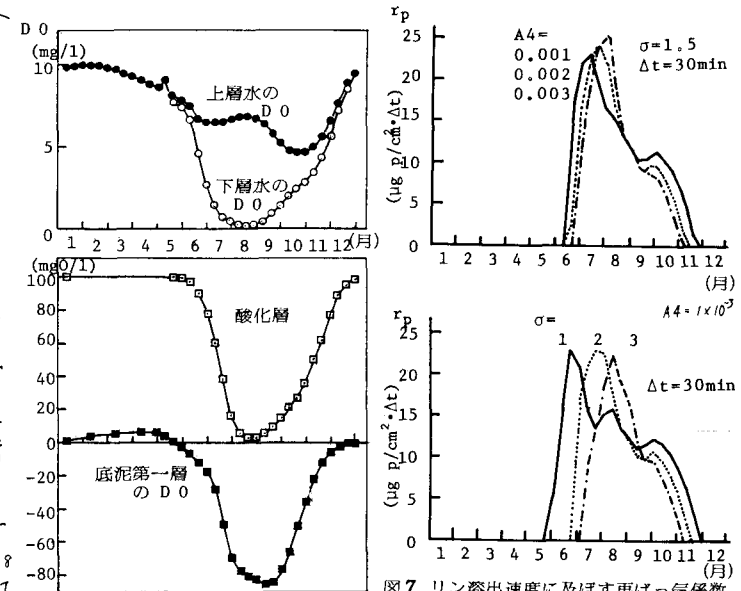


図3 各層の酸素濃度の季節変化計算値

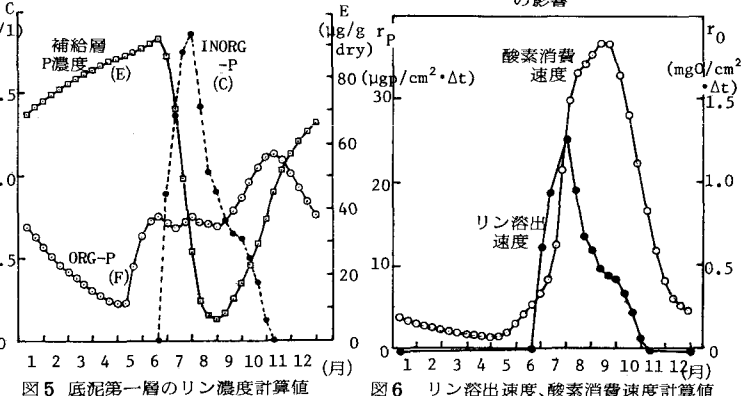


図5 底泥第一層のリン濃度計算値

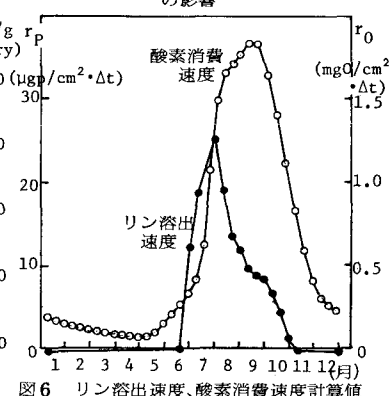


図6 リン溶出速度、酸素消費速度計算値